

К ТЕОРИИ ГИРОСКОПИЧЕСКОГО МАЯТНИКА

А. Ю. Ильянский

(Киев)

А. А. Ильяшин,
В. И. А. И. По-
К. Н. Шалченко.
Г. Ю. Джане-
В. Злобинский,
Н. П. Куфа-
Г. Мехинский,
Л. Д. Миллион-
В. Е. Рязанов,
И. М. Ра-
В. В. Румян-
В. С. Шаман

В статьях автора [1, 2] рассматривались задачи о движении физического маятника и двухроторного гироскопического компаса¹ при произвольном движении их точки подвеса по поверхности Земли, принимаемой за сферу.

Как оказалось, параметры физического маятника и начальные обстоятельства его движения могут быть выбраны так, что прямая, соединяющая точку подвеса маятника с его центром тяжести, будет постоянно проходить через центр Земли. Точкой таким же свойством обладает чувствительный элемент двухроторного гироскопа, если соответствующим образом выбрать его параметры и начальные обстоятельства его движения.

Кроме того, суммарный собственный кинетический момент гироскопа в этом случае оказывается всегда перпендикулярным к направлению скорости движения точки подвеса относительно вращающейся сферы S с тем же центром и тем же радиусом, что и Земля (фиг. 1); величина упомянутой скорости связана простым тригонометрическим соотношением с углом между осями собственного вращения гироскопов.

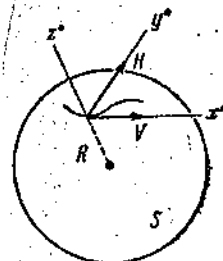
Указанные свойства имеют место, разумеется, лишь при отсутствии трения в точке подвеса, а для гироскопа — и в осях кожухов гироскопов.

Вопрос о теоретической возможности осуществления подобных физических маятников и гироскопов был в той или иной мере предметом исследований многих авторов, начиная с М. Шулера [3]. Однако, как нам кажется, этот вопрос так и не был решен в самом общем случае с надлежащей степенью строгости. Причина заключалась чаще всего в том, что движение точки подвеса рассматривалось по отношению к Земле, наличие вращения которой значительно усложняло уравнения движения. Кроме того, учет сил инерции переносного движения не всегда производился точно.

Введение в работах [1, 2] упомянутой выше вращающейся сферы S , а также поступательно перемещающейся исходной системы координат ξ, η, ζ с началом в точке подвеса физического маятника (или соответственно двухроторного гироскопического компаса) упростило исследования и сделало результаты их в значительной мере ясными.

Несмотря на наличие обстоятельного исследования Б. В. Булгакова [3], аналогично обстоит дело и с теорией гироскопического маятника. Для строгого изложения этого вопроса, чему и посвящена настоящая статья, можно воспользоваться методами, введенными в работах [1, 2]; кроме того, необходимо четкое рассмотрение игры сил в кардановом подвесе ротора гироскопа, что также ранее оставалось без внимания.

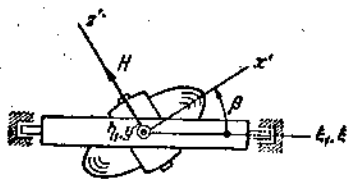
1°. Дадим предварительно в рамках прецессионной теории гироскопов вывод общих уравнений движения оси гироскопа, ротор которого под-



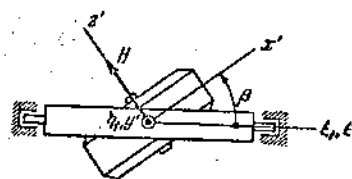
Фиг. 1

¹ Последняя задача рассматривалась в рамках прецессионной (элементарной) теории гироскопов.

вешен в кардановом подвесе (фиг. 2). Подшипники оси внешнего кольца этого подвеса расположены в теле некоторого подвижного основания. Внутреннее кольцо подвеса конструктивно может иметь, в частности, форму кожуха, в подшипниках которого вращается ротор гироскопа (фиг. 3).

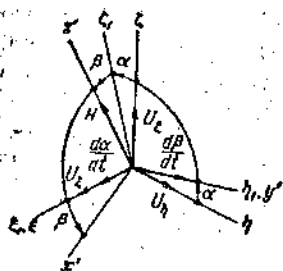


Фиг. 2



Фиг. 3

Свяжем с основанием, внешним кольцом и внутренним кольцом (кожухом), соответственно три системы координат $\xi\eta\zeta$, $\xi_1\eta_1\zeta_1$, $x'y'z'$ с общим началом в центре карданова подвеса. Оси ξ и ξ_1 направим по оси внешнего кольца, оси η_1 и y' — по оси внутреннего кольца (кожуха), а ось z' — по оси ротора гироскопа.



Фиг. 4

Введем угол α поворота внешнего кольца относительно основания (фиг. 4). При $\alpha > 0$ система $\xi_1\eta_1\zeta_1$ повернута против стрелки часов относительно системы координат $\xi\eta\zeta$, если наблюдать за поворотом со стороны положительной части оси ξ (ξ_1). Аналогично введем угол β поворота внутреннего кольца (кожуха) относительно внешнего кольца карданова подвеса. Относительные угловые

скорости $d\alpha/dt$ и $d\beta/dt$ вращения системы координат $\xi_1\eta_1\zeta_1$ относительно $\xi\eta\zeta$ и системы $x'y'z'$ относительно $\xi_1\eta_1\zeta_1$ направлены (фиг. 4) соответственно по осям ξ_1 (ξ) и η_1 (y').

Обозначим через $\omega'_{x'}$, $\omega'_{y'}$ и $\omega'_{z'}$ проекции угловой скорости внутреннего кольца относительно системы координат $\xi^*\eta^*\zeta^*$ (т. е. относительно неподвижных звезд) на оси связанной с ним системы координат $x'y'z'$. Эти проекции могут быть выражены (фиг. 4) через угловую скорость основания u и углы α и β посредством формул

$$\begin{aligned}\omega'_{x'} &= u_{\xi} \cos \beta + u_{\eta} \sin \alpha \sin \beta - u_{\zeta} \cos \alpha \sin \beta + \frac{d\alpha}{dt} \cos \beta \\ \omega'_{y'} &= u_{\eta} \cos \alpha + u_{\zeta} \sin \alpha + \frac{d\beta}{dt}\end{aligned}\quad (1)$$

$$\omega'_{z'} = u_{\xi} \sin \beta - u_{\eta} \sin \alpha \cos \beta + u_{\zeta} \cos \alpha \cos \beta + \frac{d\alpha}{dt} \sin \beta$$

Здесь u_{ξ} , u_{η} и u_{ζ} — проекции угловой скорости основания относительно той же системы координат $\xi^*\eta^*\zeta^*$ на оси системы координат $\xi\eta\zeta$, жестко связанной с основанием (фиг. 4).

2°. Обозначим суммы моментов сил воздействия основания на внешнее кольцо подвеса относительно осей ξ_1 , η_1 и ζ_1 соответственно через K_{ξ_1} , K_{η_1} и K_{ζ_1} . Введем далее обозначения $L_{x'}$, $L_{y'}$ и $L_{z'}$ для сумм моментов сил воздействия внешнего кольца на внутреннее относительно осей x' , y' и z' . Наконец, через $M_{x'}$, $M_{y'}$ и $M_{z'}$ обозначим суммы моментов сил

воздейс
тельно

Через
ствующи
 L_x , L_y и
к ротору

В ча
него кол
силы ин
вно дви
жение
координ

Так
силовой
колец к
координ

следстви
приложе
наделати
Центром

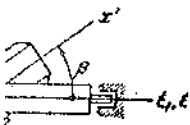
быть це
Равен
ствующе
дой из

В эт
кругосе
кольца
На осно
 L_y и L_z
ношения

Урав
веса и с

¹ В н
силы внеш
большому
² То-с
в состав
и внешне

оси внешнего кольца подвижного основания. Иметь, в частности, ротор гироскопа (фиг. 3).



в. 3

внутренним кольцом ξ_1, η_1, ζ_1 , $x'y'z'$ с осями ξ_1 направим по оси y' — по оси внутренней z' — по оси ротора

внешнего кольца (фиг. 4). При $\alpha > 0$ стрелки часов относительно ξ_1, η_1, ζ_1 , если наблюдать вентильной части оси β поворота внутреннему кольцу относительно внешнего положительные угловые скорости ξ_1, η_1, ζ_1 относительно (фиг. 4) соответ-

скорости внутреннего относительно неподвижных координат $x'y'z'$. Эти скорости основа-

$$+ \frac{d\alpha}{dt} \cos \beta \quad (1)$$

$$- \frac{d\alpha}{dt} \sin \beta$$

относительно координат ξ_1, η_1, ζ_1 , жестко связанного с внешним основанием через K_{ξ_1} , для сумм моментов относительно осей x', y', z' суммы моментов сил

воздействия внутреннего кольца (кожуха) на ротор гироскопа¹ относительно тех же осей x', y' и z' .

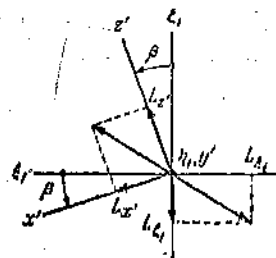
Через k_{ξ_1}, k_{η_1} и k_{ζ_1} обозначим суммы моментов относительно соответствующих осей сторонних сил², приложенных к внешнему кольцу, через $l_{x'}, l_{y'}$ и $l_{z'}$ — к внутреннему кольцу (кожуху) и через $m_{x'}, m_{y'}$ и $m_{z'}$ — к ротору.

В число сил, непосредственно действующих на элементы массы внешнего кольца, внутреннего кольца (кожуха) и ротора следует включить силы инерции (переносного движения и кориолисовы силы), обусловленные движением системы координат, относительно которой изучается движение гироскопа. Такой системой в данном случае выбрана система координат $\xi^* \eta^* \zeta^*$, о которой было упомянуто выше.

Так как дальнейшие исследования проводятся в рамках прецессионной (элементарной) теории гироскопов, то кинетические моменты колец карданова подвеса в их движении относительно исходной системы координат (в нашем случае системы $\xi^* \eta^* \zeta^*$) могут не учитываться. Как следствие этого полагаем равным нулю главный момент системы сил, приложенных к внешнему кольцу. Точно таким же свойством должна обладать система сил, приложенных к внутреннему кольцу (кожуху). Центром приведения сил в обоих случаях должен быть центр карданова подвеса.

Равенство нулю сумм моментов всех сил, действующих на внешнее кольцо, относительно каждой из осей ξ_1, η_1 и ζ_1 приводит к уравнениям

$$\begin{aligned} K_{\xi_1} + k_{\xi_1} - L_{\xi_1} &= 0 \\ K_{\eta_1} + k_{\eta_1} - L_{\eta_1} &= 0 \\ K_{\zeta_1} + k_{\zeta_1} - L_{\zeta_1} &= 0 \end{aligned} \quad (2)$$



Фиг. 5

В эти уравнения входят суммы моментов во-круг осей ξ_1, η_1 и ζ_1 сил воздействия внутреннего кольца (кожуха) на внешнее, обозначенные через $-L_{\xi_1}, -L_{\eta_1}$ и $-L_{\zeta_1}$. На основании III закона Ньютона они связаны (фиг. 5) с моментами $L_{x'}, L_{y'}$ и $L_{z'}$ сил воздействия внешнего кольца на внутреннее (кожух) соотношениями

$$\begin{aligned} L_{\xi_1} &= L_{x'} \cos \beta + L_{z'} \sin \beta \\ L_{\eta_1} &= L_{y'} \\ L_{\zeta_1} &= -L_{x'} \sin \beta + L_{z'} \cos \beta \end{aligned} \quad (3)$$

Уравнения равновесия внутреннего кольца (кожуха) карданова подвеса в свою очередь имеют вид:

$$\begin{aligned} L_{x'} + l_{x'} - M_{x'} &= 0 \\ L_{y'} + l_{y'} - M_{y'} &= 0 \\ L_{z'} + l_{z'} - M_{z'} &= 0 \end{aligned} \quad (4)$$

¹ В некоторых случаях (например, в гироскопическом приборе Обри) имеются силы взаимодействия между ротором и внешним кольцом. Их учет приводит к небольшому усложнению последующих выкладок.

² То-есть не являющихся силами взаимодействия между телами, входящими в состав механической системы гироскопического маятника, — ротор, внутреннее кольцо (кожух) и внешнее кольцо карданова подвеса.

Здесь величины $-M_{x'}$, $-M_{y'}$ и $-M_{z'}$ — соответствующие суммы моментов сил воздействия ротора гироскопа.

Исключим посредством соотношений (3) величины L_{ξ_1} , L_{η_1} и L_{ζ_1} , которые входят в уравнения (2). Получим

$$\begin{aligned} K_{\xi_1} + k_{\xi_1} &= L_{x'} \cos \beta + L_{z'} \sin \beta \\ K_{\eta_1} + k_{\eta_1} &= L_{y'} \\ K_{\zeta_1} + k_{\zeta_1} &= -L_{x'} \sin \beta + L_{z'} \cos \beta \end{aligned} \quad (5)$$

Для дальнейшего существование имеют выражения $M_{x'}$ и $M_{y'}$ для сумм моментов относительно осей x' и y' сил воздействия внутреннего кольца (кожуха) на ротор гироскопа. Совместно с неизвестными K_{η_1} , K_{ζ_1} , $L_{x'}$ и $L_{z'}$ их можно определить, пользуясь уравнениями (4) и (5).

Величины K_{η_1} и K_{ζ_1} представляют собой суммы моментов относительно осей η_1 и ζ_1 сил нормальных реакций в подшипниках внешнего кольца. Аналогично суммы $L_{x'}$ и $L_{z'}$ образуются за счет нормальных реакций подшипников внутреннего кольца (кожуха). Знание сил реакций может оказаться, например, полезным для определения сил трения в подшипниках подвеса.

Разрешим уравнения (4) и (5) относительно величин K_{η_1} , K_{ζ_1} , $L_{x'}$, $L_{z'}$, $M_{x'}$ и $M_{y'}$, считая остальные, т. е. k_{ξ_1} , k_{η_1} , k_{ζ_1} , $l_{x'}$, $l_{y'}$, $l_{z'}$, K_{ξ_1} , $L_{y'}$ и $M_{z'}$, как бы заданными. Имеем

$$\begin{aligned} K_{\eta_1} &= -k_{\eta_1} + L_{y'} \\ K_{\zeta_1} &= -k_{\zeta_1} - (K_{\xi_1} + k_{\xi_1}) \operatorname{tg} \beta + (M_{z'} - l_{z'}) \operatorname{sec} \beta \\ L_{x'} &= (K_{\xi_1} + k_{\xi_1}) \operatorname{sec} \beta - (M_{z'} - l_{z'}) \operatorname{tg} \beta \\ L_{z'} &= -l_{z'} + M_{z'} \\ M_{x'} &= l_{x'} + (K_{\xi_1} + k_{\xi_1}) \operatorname{sec} \beta - (M_{z'} - l_{z'}) \operatorname{tg} \beta \\ M_{y'} &= l_{y'} + L_{y'} \end{aligned} \quad (6)$$

Следует обратить внимание на то, каким образом входит в состав выражения $M_{x'}$ сумма k_{ξ_1} моментов относительно оси ξ_1 сторонних сил, непосредственно приложенных к внешнему кольцу, а также сумма K_{ξ_1} , образуемая силами трения оси внешнего кольца и силами взаимодействия основания и кольца, стремящимися повернуть внешнее кольцо относительно основания.

Нередко здесь допускают ошибку, непосредственно проектируя моменты K_{ξ_1} и k_{ξ_1} на ось x' , забывая, что они приложены не к внутреннему кольцу (кожуху), а к другому телу — к внешнему кольцу карданова подвеса. В результате в состав выражения $M_{x'}$ величины K_{ξ_1} и k_{ξ_1} входят с множителем $\cos \beta$, что, разумеется, неверно. По-видимому, эта часто встречающаяся ошибка осталась незамеченной вследствие того, что угол β , как правило, предполагался малым и $\cos \beta$ сразу же заменился единицей.

В образовании $M_{x'}$ участвует также (при $\beta \neq 0$) сумма $l_{z'}$ моментов относительно оси ротора z' сил, непосредственно приложенных к внутреннему кольцу карданова подвеса, и сумма $M_{z'}$ моментов сил воздействия этого кольца на ротор гироскопа. Последнее обстоятельство на первый взгляд кажется неожиданным.

3°. Об
с процес
считается
произведе
угловую

Строит
ротора ог
из-за вре
ной скоро
него кол
можно в
ной угло

Рассм
 $\xi' \eta' \zeta'$, су
трудно ви
на оси
выражен

где $\omega'_{x'}$
ивляются
внутренн
координат
выражен
сил, дей

$\omega'_{y'}$

Замет
торможет
пример,
мента тре
кольцо (м
ивляется
ного с ко

Замел
следним
гироскопа

Соотпс
совокупнс
мые функ

3°. Обратимся теперь к уравнениям движения ротора. В соответствии с прецессионной теорией гироскопов кинетический момент ротора H считается направленным по его собственной оси вращения и равным произведению момента инерции ротора C относительно этой оси на его угловую скорость n , т. е.

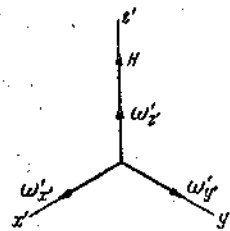
$$H = Cn \tag{7}$$

Строго говоря, под величиной n следует понимать проекцию на ось ротора его угловой скорости относительно неподвижных звезд. Однако из-за чрезвычайно большой величины так называемой собственной угловой скорости ротора, т. е. его угловой скорости относительно внутреннего кольца (кожуха) по сравнению с угловой скоростью самого кольца, можно не делать различия между величиной n и упомянутой собственной угловой скоростью.

Рассмотрим скорость конца вектора H относительно системы координат $\xi^*\eta^*\zeta^*$, считая, что его начало совпадает с началом этой системы. Нетрудно видеть (фиг. 6), что проекции этой скорости на оси системы координат $x'y'z'$ представляются выражениями

$$\omega'_{y'}H, \quad -\omega'_{x'}H, \quad dH/dt \tag{8}$$

где $\omega'_{x'}$, $\omega'_{y'}$ и $\omega'_{z'}$, как уже упоминалось выше, являются проекциями на оси $x'y'z'$ угловой скорости внутреннего кольца (кожуха) относительно системы координат $\xi^*\eta^*\zeta^*$. Как известно по законам механики, выражения (8) соответственно равны суммам моментов сил, действующих на ротор относительно тех же осей x' , y' и z' , т. е.



Фиг. 6

$$\omega'_{y'}H = m_{x'} + M_{x'}, \quad -\omega'_{x'}H = m_{y'} + M_{y'}, \quad \frac{dH}{dt} = m_{z'} + M_{z'} \tag{9}$$

Заметим, что величина $m_{z'}$ представляет собой, как правило, момент торможения ротора со стороны внешней среды в случае отсутствия, например, термически закрытого кожуха. Величина $M_{z'}$ складается из момента трения (как в подшипниках, так и через среду) ротора о внутреннее кольцо (кожух) и момента, вращающего ротор; чаще всего последним является момент, развиваемый магнитным полем статора, жестко связанного с кожухом.

Заменяя в равенствах (9) выражения $M_{x'}$ и $M_{y'}$ согласно двум последним формулам (6), получаем следующие уравнения движения ротора гироскопа при наличии карданова подвеса:

$$\begin{aligned} \omega'_{y'}H &= m_{x'} + l_{x'} + (K_{\xi_1} + k_{\xi_1}) \sec \beta - (M_{z'} - l_{z'}) \operatorname{tg} \beta \\ -\omega'_{x'}H &= m_{y'} + l_{y'} + L_{y'} \\ dH/dt &= m_{z'} + M_{z'} \end{aligned} \tag{10}$$

Соотношения (10) при учете формул (7) и (1) представляют собой совокупность трех дифференциальных уравнений, содержащих три искомые функции времени $\alpha(t)$, $\beta(t)$ и $n(t)$.

4°. При исследовании теории гироскопического маятника примем, что силы трения в осях карданова подвеса отсутствуют, равно как отсутствуют и силы взаимодействия, стремящиеся повернуть внешнее кольцо относительно основания и внутреннее кольцо (кожух) относительно внешнего, т. е.

$$K_{\xi_1} = L_{y'} = 0 \quad (11)$$

Далее, если считать, что ротор вращается в закрытом кожухе с постоянной угловой скоростью n , то

$$m_{z'} = 0, \quad M_{z'} = 0 \quad (12)$$

Примем, наконец, что сторонние силы, приложенные к внешнему кольцу, не создают суммарного момента вокруг оси этого кольца ξ_1 , а силы, приложенные к внутреннему кольцу, — относительно оси z' , т. е.

$$k_{\xi_1} = 0, \quad l_{z'} = 0 \quad (13)$$

В практических условиях это означает, что внешнее кольцо уравновешено, а центр тяжести внутреннего кольца лежит на оси z' , т. е. на оси ротора гироскопа.

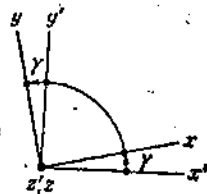
При сделанных предположениях уравнения (10) значительно упрощаются и сводятся к виду

$$\omega_{y'} H = m_{x'} + l_{x'}, \quad -\omega_{x'} H = m_{y'} + l_{y'} \quad (14)$$

где H — постоянная величина.

5°. Для дальнейшего существенно заметить, что вид этих уравнений сохраняется для произвольной системы координат xuz , если ее начало также расположено в центре карданова подвеса, а ось z совпадает с осью z' системы координат $x'y'z'$, жестко связанной с внутренним кольцом подвеса (кожухом).

Действительно (фиг. 7), проекции ω_x , ω_y и ω_z угловой скорости такой системы координат xuz на ее собственные оси связаны с проекциями $\omega_{x'}$, $\omega_{y'}$ и $\omega_{z'}$ угловой скорости системы координат $x'y'z'$ на оси последней соотношениями



Фиг. 7

$$\begin{aligned} \omega_x &= \omega_{x'} \cos \gamma + \omega_{y'} \sin \gamma \\ \omega_y &= -\omega_{x'} \sin \gamma + \omega_{y'} \cos \gamma \\ \omega_z &= \omega_{z'} + d\gamma/dt \end{aligned} \quad (15)$$

Здесь γ — угол между осями x' и x ; при $\gamma > 0$ система координат xuz повернута против стрелки часов относительно системы $x'y'z'$, если наблюдать за поворотом со стороны положительной части оси z (z').

Подставим в первые две формулы (15) величины $\omega_{x'}$ и $\omega_{y'}$ согласно равенствам (14). Замечая, что выражения

$$\begin{aligned} (m_{x'} + l_{x'}) \cos \gamma + (m_{y'} + l_{y'}) \sin \gamma &= m_x + l_x \\ -(m_{x'} + l_{x'}) \sin \gamma + (m_{y'} + l_{y'}) \cos \gamma &= m_y + l_y \end{aligned} \quad (16)$$

представ:
ложными
ния¹

6°. По
гироскоп
вольным
сти невр

Как у
относител

по отно
В ур
решену
менты си
ствуют. (

действую
тяготени

жения и
координ

перемене
движения
ственной
тяжести

роскопа.
Обозн

x, y и z
роскопа,
В соответ

го движе
 $Q_x = -m$
определя
инерции

Как и
ментарны
ходящей

Примем,
лежит на
стоянии

мулами с

¹ Разум
если обрат
с компонен
 $m_{y'} + l_{y'}$

представляют собой суммы моментов относительно осей x и y сил, приложенных к внутреннему кольцу и к ротору гироскопа, получим уравнения¹

$$\omega_y H = m_x + l_x, \quad -\omega_x H = m_y + l_y \quad (17)$$

6°. Перейдем теперь к основному вопросу — исследованию поведения гироскопического маятника, точка подвеса которого перемещается произвольным образом по поверхности Земли, а следовательно, и по поверхности вращающейся сферы S .

Как уже отмечалось выше, движение оси гиromаятника будем изучать относительно системы координат $\xi^* \eta^* \zeta^*$, не изменяющей своей ориентации по отношению к неподвижным звездам.

В уравнения (17) входят лишь сторонние силы, приложенные к внутреннему кольцу карданова подвеса (кожуху) и к ротору гироскопа; моменты сил реакций со стороны внешнего кольца в данном случае отсутствуют. Согласно законам механики относительного движения, в число действующих на внутреннее кольцо (кожух) и ротор сил, помимо сил тяготения, должны быть также включены силы инерции переносного движения и кориолисовы силы, обусловленные движением исходной системы координат $\xi^* \eta^* \zeta^*$. Однако последние отсутствуют, так как система $\xi^* \eta^* \zeta^*$ перемещается поступательно. Элементарные силы инерции переносного движения, будучи по той же причине параллельными, сводятся к единственной силе Q , приложенной к общему центру тяжести внутреннего кольца (кожуха) и ротора гироскопа.

Обозначим через w_x, w_y и w_z проекции на оси x, y и z ускорения центра карданова подвеса гироскопа, или, что то же, системы координат $\xi^* \eta^* \zeta^*$. В соответствии с теоремами механики относительного движения формулы

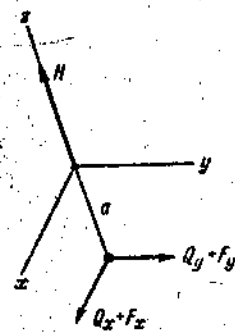
$$Q_x = -mw_x, \quad Q_y = -mw_y, \quad Q_z = -mw_z \quad (18)$$

определяют проекции на те же оси искомой силы инерции переносного движения.

Как и в работах [1,2], предположим, что силы тяготения к Земле элементарных частиц кольца и ротора сводятся к единственной силе F , проходящей через их общий центр тяжести и направленной к центру Земли. Примем, что общий центр тяжести внутреннего кольца (кожуха) и ротора лежит на отрицательной части оси z' (т. е. на оси ротора) на расстоянии a от начала координат. Тогда в соответствии с известными формулами статики (см. также фиг. 8) имеем

$$m_x + l_x = a(Q_y + F_y), \quad m_y + l_y = -a(Q_x + F_x) \quad (19)$$

¹ Разаумеется, уравнения (17) могут быть получены и без приведенных выкладок, если обратиться к векторному характеру соотношений (14), согласно которым вектор с компонентами ω_x' и ω_y' перпендикулярен вектору с компонентами $m_x + l_x$ и $m_y + l_y$, а модули их пропорциональны.



Фиг. 8

(11)

(12)

(13)

(14)

(15)

(16)

В этих формулах через F_x и F_y обозначены проекции силы F на оси x и y . Подставляя формулы (19) в равенства (17), получим окончательные уравнения движения гироскопического маятника

$$\omega_x H = a(Q_x + F_x), \quad \omega_y H = a(Q_y + F_y) \quad (20)$$

На основании изложенного выше эти уравнения справедливы при произвольном выборе системы координат xuz с началом в центре карданова подвеса и осью z , направленной по оси ротора, при отсутствии сил трения в осях подвеса и усилий, стремящихся повернуть внешнее кольцо относительно основания.

7°. Введем трехгранник Дарбу $x^\circ y^\circ z^\circ$ с вершиной в центре карданова подвеса, ребро z° которого нормально сфере S , а ребро x° направлено по вектору скорости v центра подвеса (положение трехгранника тем самым определяется однозначно). Нетрудно убедиться (фиг. 1), что проекции угловой скорости ω° трехгранника относительно системы координат $\xi^* \eta^* \zeta^*$ (или, что то же, относительно невращающейся сферы S) на его ребра x° , y° и z° определяются равенствами

$$\omega_{x^\circ} = 0, \quad \omega_{y^\circ} = \frac{v}{R} \quad (21)$$

Что же касается проекции упомянутой угловой скорости на ребро z° , то она может быть произвольной функцией времени [2], которую обозначим через $\omega(t)$. Таким образом,

$$\omega_{z^\circ} = \omega(t) \quad (22)$$

Заметим, что соотношением

$$v(t) = \rho_g \omega(t) \quad (23)$$

определяется геодезический радиус кривизны ρ_g сферической траектории вершины трехгранника.

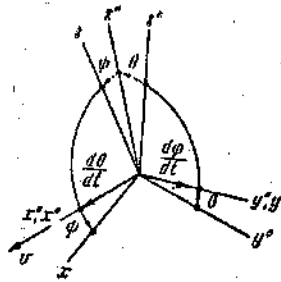
Проекция ускорения вершины трехгранника на его ребра x° , y° и z° выражаются [2] формулами

$$w_{x^\circ} = \frac{dv}{dt}, \quad w_{y^\circ} = \omega v, \quad w_{z^\circ} = -\frac{v^2}{R} \quad (24)$$

Пользуясь некоторой произвольностью выбора системы координат xuz , направим ось x этой системы в плоскости zx° , содержащей ось ротора z' (z) и ребро x° трехгранника Дарбу (фиг. 9). Тем самым ось y , как перпендикулярная к ребру x° (x° содержится в плоскости xz), окажется в плоскости $y^\circ z^\circ$.

Обозначим через ϕ угол между осью x и ребром x° , а через θ — угол между осью y и ребром y° .

Относительная угловая скорость системы координат xuz относительно трехгранника $x^\circ y^\circ z^\circ$ равна геометрической сумме относительной угловой скорости $d\theta/dt$, имеющей направление ребра x° , и угловой скорости $d\phi/dt$, направленной по оси y .



Фиг. 9

Нетрудно
координат xz

	x°
x	$\cos \phi$
y	0
z	$\sin \phi$

При посту
координат x°
гранника Дар
тепному вы
координат x°
наблюдать э
 $\phi > 0$ систе
вспомогатель
Используй
во внимание
угловых ско

Здесь, ка
координат xz

Сила тяг
вдоль отриц
дующие форм

$F_x =$

для проекци

Посредст
ный ускорени
выражения:

Далее по
или Q . Под
ний (20). В
влевными со

Нетрудно построить таблицу косинусов углов между осями системы координат xyz и ребрами трехгранника $x^\circ y^\circ z^\circ$. Она имеет вид:

	x°	y°	z°
x	$\cos \psi$	$\sin \theta \sin \psi$	$-\cos \theta \sin \psi$
y	0	$\cos \theta$	$\sin \theta$
z	$\sin \psi$	$-\sin \theta \cos \psi$	$\cos \theta \cos \psi$

При построении этой таблицы полезно ввести вспомогательную систему координат $x''y''z''$ (фиг. 8), ось x'' которой совпадает с ребром x° трехгранника Дарбу, а ось y'' — с осью y системы координат xyz . Положительному значению угла θ соответствует поворот вспомогательной системы координат $x''y''z''$ против стрелки часов вокруг ребра x° (оси x''), если наблюдать за поворотом со стороны положительной части оси x'' . При $\psi > 0$ система координат xyz повернута аналогичным образом относительно вспомогательной системы $x''y''z''$ вокруг оси y'' (y).

Используя таблицу (25), учитывая формулы (21) и (22) и принимая во внимание сделанные выше замечания о направлении относительных угловых скоростей $d\theta/dt$ и $d\psi/dt$, получаем следующие формулы:

$$\begin{aligned}\omega_x &= \frac{v}{R} \sin \theta \sin \psi - \omega \cos \theta \sin \psi + \frac{d\theta}{dt} \cos \psi \\ \omega_y &= \frac{v}{R} \cos \theta + \omega \sin \theta + \frac{d\psi}{dt}\end{aligned}\quad (26)$$

$$\omega_z = -\frac{v}{R} \sin \theta \cos \psi + \omega \cos \theta \cos \psi + \frac{d\theta}{dt} \sin \psi.$$

Здесь, как и ранее, ω_x , ω_y и ω_z — проекции угловой скорости системы координат xyz относительно неподвижных звезд на ее собственные оси.

Сила тяготения F направлена по радиусу сферы S к ее центру, т. е. вдоль отрицательного направления z° . Согласно таблице (25), имеем следующие формулы:

$$F_x = F \cos \theta \sin \psi, \quad F_y = -F \sin \theta, \quad F_z = -F \cos \theta \cos \psi \quad (27)$$

для проекций этой силы на соответствующие оси системы координат xyz .

Посредством той же таблицы (25) и формул (24) получаем для проекций ускорения центра подвеса на оси системы координат xyz следующие выражения:

$$\begin{aligned}\omega_x &= \frac{dv}{dt} \cos \psi + \omega v \sin \theta \sin \psi + \frac{v^2}{R} \cos \theta \sin \psi \\ \omega_y &= \omega v \cos \theta - \frac{v^2}{R} \sin \theta\end{aligned}\quad (28)$$

$$\omega_z = \frac{dv}{dt} \sin \psi - \omega v \sin \theta \cos \psi - \frac{v^2}{R} \cos \theta \cos \psi$$

Далее по формулам (18) находим проекции на те же оси силы инерции Q . Подставим их вместе с выражениями (27) в правые части уравнений (20). В левых частях уравнений (20) заменим ω_x и ω_y их представлениями согласно формулам (26).

В результате получим следующую совокупность двух дифференциальных уравнений для отыскания искомых функций времени $\theta(t)$ и $\psi(t)$:

$$\begin{aligned} & \left(\frac{v}{R} \sin \theta \sin \psi - \omega \cos \theta \sin \psi + \frac{d\theta}{dt} \cos \psi \right) H = \\ & = a \left[\left(F - \frac{mv^2}{R} \right) \cos \theta \sin \psi - m \left(\frac{dv}{dt} \cos \psi + \omega v \sin \theta \sin \psi \right) \right] \quad (29) \\ & \left(\frac{v}{R} \cos \theta + \omega \sin \theta + \frac{d\psi}{dt} \right) H = a \left[- \left(F - \frac{mv^2}{R} \right) \sin \theta - m \omega v \cos \theta \right] \end{aligned}$$

Если на сфере S задано движение точки подвеса гироскопического маятника и тем самым трехгранника Дарбу, то функции

$$v = v(t), \quad \omega = \omega(t)$$

в уравнениях (29) следует считать известными. Таким образом, соотношения (29) представляют собой при сделанных в конце п. 6° предположениях точные уравнения движения оси гироскопического маятника.

8°. При произвольных заданных функциях $v(t)$ и $\omega(t)$ и конечных значениях искомых углов θ и ψ решение уравнений (29) представляет значительные трудности. Однако если ограничиться малыми значениями углов θ и ψ и сохранить в уравнениях (29) лишь члены первого порядка малости, то соответствующие уравнения

$$\begin{aligned} \frac{d\theta}{dt} - \left[\omega + \frac{a}{H} \left(F - \frac{mv^2}{R} \right) \right] \psi &= - \frac{a}{H} m \frac{dv}{dt} \\ \frac{d\psi}{dt} + \left[\omega + \frac{a}{H} \left(F - \frac{mv^2}{R} \right) \right] \theta &= - \frac{v}{R} - \frac{a}{H} m \omega v \end{aligned} \quad (30)$$

оказываются линейными дифференциальными уравнениями с переменными коэффициентами, допускающими интегрирование в квадратурах.

Воспользуемся прежде всего в уравнениях (30) подстановкой

$$\theta = - \frac{ma}{H} v + \vartheta \quad (31)$$

Получим в результате следующую совокупность уравнений:

$$\frac{d\vartheta}{dt} - p(t) \vartheta = 0, \quad \frac{d\psi}{dt} + p(t) \psi = q(t) \quad (32)$$

где

$$p(t) = \omega + \frac{a}{H} \left(F - \frac{mv^2}{R} \right), \quad q(t) = \left[\frac{ma^2}{H^2} \left(F - \frac{mv^2}{R} \right) - \frac{1}{R} \right] v \quad (33)$$

Уравнения (32) могут быть заменены одним, а именно

$$\frac{d\chi}{dt} + ip(t)\chi = iq(t) \quad (34)$$

Здесь $\chi(t)$ — подлежащая определению комплекснозначная функция времени, связанная с искомыми функциями $\vartheta(t)$ и $\psi(t)$ соотношением

$$\chi(t) = \vartheta(t) + i\psi(t) \quad (35)$$

Общее решение уравнения (34) имеет следующий вид: (36)

$$\chi(t) = C \exp \left(-i \int_0^t p(t) dt \right) + i \int_0^t q(t) \exp \left(i \int_0^t p(t) dt \right) dt \exp \left(-i \int_0^t p(t) dt \right)$$

Значение определяется

9°. Особи

что, согласно боре параметра движения т движения т с окружной можно счита

где g — ус Условие (30) в виду.

т. е. к изр Пусть т тельства, п

Тогда,

Отсюда

Из втор динат зуз сти перни сферы S и скопа) рас В соог

Это ови ческой пер правления

Таким скорости v затруднени рость v ра ля и напр

В случ построения

Значение комплекснозначной произвольной постоянной C решения (36) определяется начальным положением оси гиromаятника. Действительно,

$$C = \chi(0) = \vartheta(0) + i\psi(0) \quad (37)$$

9°. Особый интерес представляет случай

$$g(t) \equiv 0 \quad (38)$$

что, согласно второму равенству (33), возможно при соответствующем выборе параметров H , m и a лишь при постоянном значении скорости v движения точки подвеса гиromаятника по сфере S . При малой скорости движения точки подвеса относительно Земли по сравнению, например, с окружной скоростью точек экватора Земли с известным приближением можно считать

$$F - \frac{mv^2}{R} = mg \quad (39)$$

где g — ускорение силы тяжести в месте нахождения гиromаятника. Условие (38) приводится теперь с учетом второго равенства (33) и (39) к виду

$$\frac{m\omega}{R} = \sqrt{\frac{H}{R}} \quad (40)$$

т. е. к известному условию Шулера — Булгакова^[3].

Пусть тождество (38) осуществлено и, кроме того, начальные обстоятельства движения таковы, что

$$\vartheta(0) = 0, \quad \psi(0) = 0 \quad (41)$$

Тогда, согласно формулам (36) и (38), имеем

$$\chi(t) \equiv 0 \quad (42)$$

Отсюда в соответствии с равенством (35) имеют место тождества

$$\vartheta(t) \equiv 0, \quad \psi(t) \equiv 0 \quad (43)$$

Из второго тождества (43) следует (фиг. 9), что ось x системы координат xuz и ребро x° трехгранника Дарбу совпадают. Вектор скорости вершины трехгранника v (точки подвеса гиromаятника) относительно сферы S направлен по ребру x° . Следовательно, ось z (ось ротора гироскопа) расположена в плоскости $y^\circ z^\circ$, перпендикулярной скорости v .

В соответствии с первым тождеством (43) и равенством (31) имеем

$$\theta = -\frac{ma}{H}v \quad (44)$$

Это означает, что ось z отклоняется от ребра z° , т. е. от геоцентрической вертикали (радиуса Земли) в сторону положительной части направления y° на угол, пропорциональный скорости v .

Таким образом, при известных величине и направлении постоянной скорости v геоцентрическая вертикаль может быть построена без особых затруднений. Так, например, обстоит дело на плувучем маяке, где скорость v равна окружной скорости точек соответствующей параллели Земли и направлена им поперек.

В случае гиromаятника, расположенного, например, на корабле, для построения вертикали необходимо знать, помимо его курса, также и ско-

рость его движения относительно Земли, что с точностью до скорости течения обеспечивается лагом. При этом считается, что условие (38) соблюдается с достаточной степенью точности.

Если начальные условия (41) не выполнены, то согласно формуле (36) ось z (ось ротора гироскопа) будет совершать коническое движение с угловой скоростью обхода ¹ — p(t) вокруг положения, которому соответствуют углы

$$\theta = -\frac{ma}{H}v, \quad \psi = 0 \tag{45}$$

Учитывая приближенное равенство (39), можно, согласно первой формуле (33), представить p(t) в виде

$$p(t) = \omega + v \tag{46}$$

Отсюда следует, что при неподвижной относительно Земли точке подвеса величина

$$v = \frac{mga}{H} = V\sqrt{\frac{g}{R}} \tag{47}$$

представляет собой видимую (т. е. относительно Земли) угловую скорость обхода вокруг положения (45).

10°. Представляется возможным построение геоцентрической вертикали без знания величины и направления скорости v. Для этой цели следует иметь два гироскопических маятника, гироскопы которых вращаются в противоположные стороны. Тогда при соблюдении соответствующих начальных обстоятельств и условия (38) ось ротора одного из них будет отклоняться от геоцентрической вертикали на угол, определяемый формулой (45), а ось другого — на такой же по величине угол, но противоположного знака.

При этом обе оси согласно изложенному выше будут лежать в плоскости, перпендикулярной вектору скорости v. Следовательно, биссектриса угла между осями роторов будет направлена по геоцентрической вертикали, а самый угол в масштабе воспроизведет величину скорости v.

Подобное двухгироскопическое устройство имеет свойства, сходные с гиригоризонткомпасом, описанным в работе [2]. Действительно, при движении точки подвеса по параллели плоскость, содержащая оси обоих роторов, совпадает с плоскостью меридиана. При каком-либо другом движении точки подвеса эта плоскость, как можно показать, отклоняется от плоскости меридиана на угол, равный классической скоростной девиации гирикомпаса [3,2].

Указанные заключения являются следствием рассмотрения линейных дифференциальных уравнений (30) и, следовательно, верны лишь с некоторым приближением. Можно, однако, соединяя оба гироскопа в одну механическую систему [2], получить те же результаты с большей принципиальной точностью.

Поступила 8 IX 1956

ЛИТЕРАТУРА

1. Ишлинский А. Ю. Об относительном равновесии физического маятника с подвижной точкой опоры. ПММ, т. XX, вып. 3, 1956.
2. Ишлинский А. Ю. К теории гиригоризонткомпаса. ПММ, т. XX, вып. 4, 1956.
3. Булгаков В. В. Прикладная теория гироскопов. ГИТТЛ, М., 1955.

¹ Под угловой скоростью обхода здесь следует понимать составляющую вдоль прямой (45) угловой скорости воображаемого тела, насаженного на эту прямую, как на ось, и увлекаемого связанной с телом осью z (заметьте, что угол между упомянутой осью и осью z в силу равенства (36) при q(t) ≡ 0 остается постоянным).

О ТЕЧЕ...

В свое...
разному у...
поведия эк...
Видимые д...
случай, ког...
видимой по...
линии ли...
дробно п...
к некоторо...
значений с...
доказана е...
здесь тог...
существова...
больших з...
значений с...

В предла...
ним уравне...
дают полно...
скорости п...
1. Расст...
верхности...
диом, орд...

обладает с...
ных чере...
В качес...
А. И. Нег...
и расход...

Может